

Starkniederschlagshöhen und -spenden gemäß KOSTRA-DWD-2020

Rasterfeld 170095

(Zeile 170, Spalte 95)

Regenspende und Bemessungsniederschlagswerte in Abhängigkeit von Wiederkehrzeit T und Dauerstufe D

| Dauerstufe D | | Wiederkehrzeit T | | | | | | | | | | | | | | | | | |
|--------------|-----|------------------|------------|------|------------|------|------------|-------|------------|-------|------------|-------|------------|-------|------------|-------|------------|-------|------------|
| | | 1 a | | 2 a | | 3 a | | 5 a | | 10 a | | 20 a | | 30 a | | 50 a | | 100 a | |
| min | Std | mm | l / (s ha) | mm | l / (s ha) | mm | l / (s ha) | mm | l / (s ha) | mm | l / (s ha) | mm | l / (s ha) | mm | l / (s ha) | mm | l / (s ha) | mm | l / (s ha) |
| 5 | | 6,6 | 220,0 | 7,9 | 263,3 | 8,7 | 290,0 | 9,8 | 326,7 | 11,4 | 380,0 | 13,1 | 436,7 | 14,1 | 470,0 | 15,5 | 516,7 | 17,6 | 586,7 |
| 10 | | 8,4 | 140,0 | 10,2 | 170,0 | 11,3 | 188,3 | 12,7 | 211,7 | 14,7 | 245,0 | 16,8 | 280,0 | 18,2 | 303,3 | 20,0 | 333,3 | 22,6 | 376,7 |
| 15 | | 9,7 | 107,8 | 11,7 | 130,0 | 12,9 | 143,3 | 14,5 | 161,1 | 16,9 | 187,8 | 19,3 | 214,4 | 20,9 | 232,2 | 22,9 | 254,4 | 25,9 | 287,8 |
| 20 | | 10,6 | 88,3 | 12,8 | 106,7 | 14,2 | 118,3 | 15,9 | 132,5 | 18,5 | 154,2 | 21,2 | 176,7 | 22,9 | 190,8 | 25,2 | 210,0 | 28,4 | 236,7 |
| 30 | | 12,1 | 67,2 | 14,6 | 81,1 | 16,1 | 89,4 | 18,1 | 100,6 | 21,1 | 117,2 | 24,1 | 133,9 | 26,1 | 145,0 | 28,6 | 158,9 | 32,3 | 179,4 |
| 45 | | 13,7 | 50,7 | 16,5 | 61,1 | 18,3 | 67,8 | 20,6 | 76,3 | 23,9 | 88,5 | 27,3 | 101,1 | 29,6 | 109,6 | 32,5 | 120,4 | 36,7 | 135,9 |
| 60 | 1 | 15,0 | 41,7 | 18,1 | 50,3 | 20,0 | 55,6 | 22,5 | 62,5 | 26,1 | 72,5 | 29,9 | 83,1 | 32,3 | 89,7 | 35,5 | 98,6 | 40,1 | 111,4 |
| 90 | 1,5 | 16,9 | 31,3 | 20,4 | 37,8 | 22,6 | 41,9 | 25,5 | 47,2 | 29,6 | 54,8 | 33,8 | 62,6 | 36,6 | 67,8 | 40,2 | 74,4 | 45,4 | 84,1 |
| 120 | 2 | 18,5 | 25,7 | 22,3 | 31,0 | 24,7 | 34,3 | 27,8 | 38,6 | 32,2 | 44,7 | 36,9 | 51,3 | 39,9 | 55,4 | 43,8 | 60,8 | 49,5 | 68,8 |
| 180 | 3 | 20,9 | 19,4 | 25,2 | 23,3 | 27,9 | 25,8 | 31,4 | 29,1 | 36,4 | 33,7 | 41,7 | 38,6 | 45,1 | 41,8 | 49,5 | 45,8 | 56,0 | 51,9 |
| 240 | 4 | 22,8 | 15,8 | 27,5 | 19,1 | 30,4 | 21,1 | 34,2 | 23,8 | 39,7 | 27,6 | 45,4 | 31,5 | 49,1 | 34,1 | 54,0 | 37,5 | 61,0 | 42,4 |
| 360 | 6 | 25,7 | 11,9 | 31,0 | 14,4 | 34,3 | 15,9 | 38,6 | 17,9 | 44,9 | 20,8 | 51,3 | 23,8 | 55,5 | 25,7 | 61,0 | 28,2 | 68,9 | 31,9 |
| 540 | 9 | 29,0 | 9,0 | 35,0 | 10,8 | 38,8 | 12,0 | 43,6 | 13,5 | 50,7 | 15,6 | 57,9 | 17,9 | 62,7 | 19,4 | 68,9 | 21,3 | 77,8 | 24,0 |
| 720 | 12 | 31,7 | 7,3 | 38,2 | 8,8 | 42,2 | 9,8 | 47,6 | 11,0 | 55,2 | 12,8 | 63,1 | 14,6 | 68,3 | 15,8 | 75,1 | 17,4 | 84,8 | 19,6 |
| 1080 | 18 | 35,7 | 5,5 | 43,1 | 6,7 | 47,7 | 7,4 | 53,7 | 8,3 | 62,3 | 9,6 | 71,3 | 11,0 | 77,1 | 11,9 | 84,7 | 13,1 | 95,7 | 14,8 |
| 1440 | 24 | 38,9 | 4,5 | 47,0 | 5,4 | 52,0 | 6,0 | 58,5 | 6,8 | 67,9 | 7,9 | 77,6 | 9,0 | 84,0 | 9,7 | 92,3 | 10,7 | 104,3 | 12,1 |
| 2880 | 48 | 47,9 | 2,8 | 57,8 | 3,3 | 63,9 | 3,7 | 72,0 | 4,2 | 83,5 | 4,8 | 95,5 | 5,5 | 103,3 | 6,0 | 113,6 | 6,6 | 128,3 | 7,4 |
| 4320 | 72 | 54,0 | 2,1 | 65,2 | 2,5 | 72,1 | 2,8 | 81,2 | 3,1 | 94,3 | 3,6 | 107,8 | 4,2 | 116,6 | 4,5 | 128,2 | 4,9 | 144,8 | 5,6 |
| 5760 | 96 | 58,9 | 1,7 | 71,1 | 2,1 | 78,6 | 2,3 | 88,5 | 2,6 | 102,7 | 3,0 | 117,4 | 3,4 | 127,1 | 3,7 | 139,7 | 4,0 | 157,8 | 4,6 |
| 7200 | 120 | 62,9 | 1,5 | 76,0 | 1,8 | 84,0 | 1,9 | 94,6 | 2,2 | 109,8 | 2,5 | 125,5 | 2,9 | 135,8 | 3,1 | 149,3 | 3,5 | 168,6 | 3,9 |
| 8640 | 144 | 66,5 | 1,3 | 80,2 | 1,5 | 88,7 | 1,7 | 99,9 | 1,9 | 116,0 | 2,2 | 132,5 | 2,6 | 143,4 | 2,8 | 157,6 | 3,0 | 178,0 | 3,4 |
| 10080 | 168 | 69,6 | 1,2 | 84,0 | 1,4 | 92,9 | 1,5 | 104,6 | 1,7 | 121,4 | 2,0 | 138,8 | 2,3 | 150,2 | 2,5 | 165,1 | 2,7 | 186,4 | 3,1 |

Starkniederschlagshöhen und -spenden gemäß KOSTRA-DWD-2020

Rasterfeld 170095

(Zeile 170, Spalte 95)

Örtliche Unsicherheiten in Abhängigkeit von Wiederkehrzeit T und Dauerstufe D

| Dauerstufe D | | Wiederkehrzeit T | | | | | | | | |
|--------------|-----|------------------|-----|-----|-----|------|------|------|------|-------|
| | | 1 a | 2 a | 3 a | 5 a | 10 a | 20 a | 30 a | 50 a | 100 a |
| min | Std | ± % | ± % | ± % | ± % | ± % | ± % | ± % | ± % | ± % |
| 5 | | 14 | 15 | 16 | 16 | 17 | 18 | 18 | 19 | 19 |
| 10 | | 17 | 18 | 19 | 20 | 21 | 22 | 22 | 23 | 23 |
| 15 | | 18 | 20 | 20 | 21 | 22 | 23 | 24 | 24 | 25 |
| 20 | | 18 | 20 | 21 | 22 | 23 | 24 | 24 | 25 | 25 |
| 30 | | 18 | 20 | 21 | 22 | 23 | 24 | 24 | 25 | 25 |
| 45 | | 18 | 20 | 20 | 21 | 22 | 23 | 24 | 24 | 25 |
| 60 | 1 | 17 | 19 | 20 | 21 | 22 | 23 | 23 | 24 | 24 |
| 90 | 1,5 | 16 | 18 | 19 | 20 | 21 | 22 | 22 | 23 | 23 |
| 120 | 2 | 15 | 17 | 18 | 19 | 20 | 21 | 21 | 22 | 22 |
| 180 | 3 | 14 | 15 | 16 | 17 | 18 | 19 | 20 | 20 | 21 |
| 240 | 4 | 13 | 14 | 15 | 16 | 17 | 18 | 18 | 19 | 20 |
| 360 | 6 | 11 | 13 | 14 | 15 | 16 | 17 | 17 | 17 | 18 |
| 540 | 9 | 10 | 12 | 12 | 13 | 14 | 15 | 16 | 16 | 17 |
| 720 | 12 | 10 | 11 | 12 | 12 | 13 | 14 | 15 | 15 | 16 |
| 1080 | 18 | 9 | 10 | 11 | 11 | 12 | 13 | 13 | 14 | 14 |
| 1440 | 24 | 9 | 10 | 10 | 11 | 12 | 12 | 13 | 13 | 14 |
| 2880 | 48 | 10 | 10 | 10 | 11 | 11 | 12 | 12 | 12 | 12 |
| 4320 | 72 | 11 | 11 | 11 | 11 | 11 | 12 | 12 | 12 | 12 |
| 5760 | 96 | 12 | 12 | 12 | 12 | 12 | 12 | 12 | 12 | 12 |
| 7200 | 120 | 13 | 13 | 12 | 12 | 12 | 12 | 12 | 13 | 13 |
| 8640 | 144 | 14 | 13 | 13 | 13 | 13 | 13 | 13 | 13 | 13 |
| 10080 | 168 | 15 | 14 | 14 | 13 | 13 | 13 | 13 | 13 | 13 |

Parameter für abweichende T und D

Lokationsparameter ξ (Xi)

15,10268056

Skalenparameter α (Alpha)

4,335991

Formparameter κ (Kappa)

-0,1

1. Koutsoyiannis-Parameter θ (Theta)

0,01177605

2. Koutsoyiannis-Parameter η (Eta)

0,70169128

Parameter für dauerstufenübergreifende Extremwertschätzung nach KOUTSOYIANNIS et al. 1998.

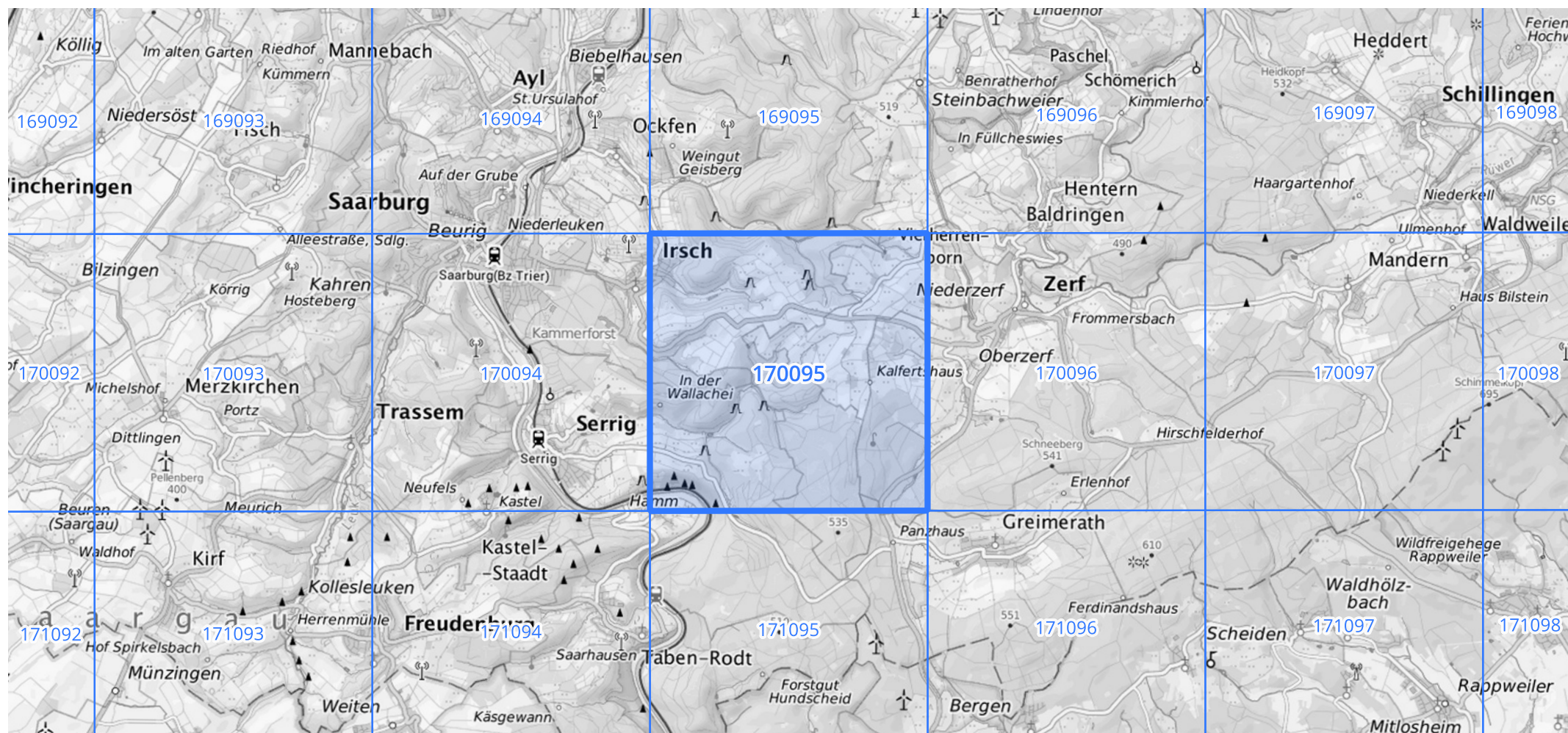
Siehe auch Anwendungshilfe zu KOSTRA-DWD-2020 des Deutschen Wetterdienstes.

Starkniederschlagshöhen und -spenden gemäß KOSTRA-DWD-2020

Rasterfeld 170095

(Zeile 170, Spalte 95)

Übersichtskarte des Rasterfeldes 170095, M 1 : 100 000



Quelle Rasterdaten: KOSTRA-DWD-2020 des Deutschen Wetterdienstes, Stand 12/2022.

Seite 3 von 3

Kartendarstellung: © Bundesamt für Kartographie und Geodäsie (2023), Datenquellen: https://sgx.geodatenzentrum.de/web_public/gdz/datenquellen/Datenquellen_TopPlusOpen.html

Für die Richtigkeit und Aktualität der Angaben wird keine Gewähr übernommen. Erstellt 01/2023.